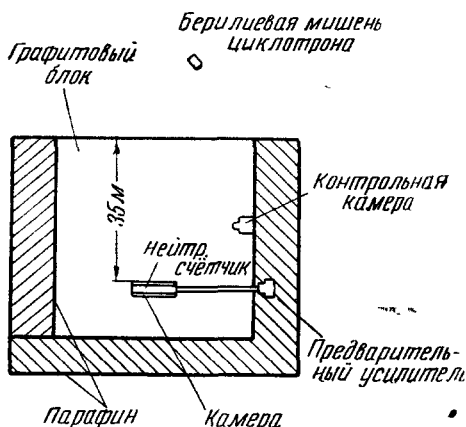


## УСПЕХИ ФИЗИЧЕСКИХ НАУК

### ИЗ ТЕКУЩЕЙ ЛИТЕРАТУРЫ

#### ОПРЕДЕЛЕНИЕ ВЕРХНЕЙ ГРАНИЦЫ ВРЕМЕНИ ВЫЛЕТА НЕЙТРОНОВ ДЕЛЕНИЯ

Общепринятое представление об «испарении» быстрых нейтронов из движущихся осколков ядра при делении (за исключением  $\sim 0,8\%$  запаздывающих нейтронов, связанных с  $\beta$ -распадом продуктов деления) было подтверждено в работе<sup>1</sup> по исследованию угловой корреляции осколков деления и нейтронов. Малая статистика не позволила при этом сделать какие-нибудь количественные оценки. В реферируемой статье<sup>2</sup> описан оригинальный метод определения верхнего предела для промежутка времени между делением ядра вылетом быстрых нейтронов ( $T_0$ ).



Тонкий образец  $U^{235}$  надет на цилиндрический пропорциональный счётчик (см. рисунок). Счётчик, собирающий электрод которого покрыт парафином, регистрирует нейтроны (по протонам отдачи) с энергией выше 300 кэв. Счётчик и образец помещены в вакуумную камеру, которая облучается потоком тепловых нейтронов. В откачанной камере часть осколков в течение  $5 \cdot 10^{-9}$  сек окажется у стенки камеры, в то время как при наполнении камеры газом эти осколки останутся вблизи стенки счётчика. Поэтому если  $T_0 > 5 \cdot 10^{-9}$  сек, то должно наблюдаться различие в числе импульсов в счётчике при откачке и наполнении камеры. Разница в скорости счёта должна зависеть от доли осколков, вылетающих

наружу, и от соотношения телесных углов. Телесный угол стенки камеры, найденный помещением около неё образца, оказался равным около 35%. Авторы вводили поправку на поглощение медленных нейтронов водородом газонаполнителя (в качестве наполнителя применялся пропан при давлении в *атм*). В результате измерений средний процент нейтронов, запаздывающих на время, превышающее  $8 \cdot 10^{-9}$  сек., получился равным  $3,6 \pm 2,8\%$ . Учитывая, что сюда входят нейтроны, запаздывающие на большее время (0,8%), авторы приходят к выводу о том, что с точностью до 3% нейтроны, вылетающие позже чем через  $6 \cdot 10^{-9}$  сек после деления ядра, отсутствуют.

Б. Р.

#### ЦИТИРОВАННАЯ ЛИТЕРАТУРА

1. R. R. Wilson, Phys. Rev. 72, 189 (1947).
2. T. M. Snyder and R. W. Williams, Phys. Rev. 81, 171 (1951).

### ЭКСПЕРИМЕНТАЛЬНАЯ ПРОВЕРКА СТАТИСТИЧЕСКОЙ ТЕОРИИ ЯДЕР

За последнее время опубликован ряд работ<sup>1-9</sup>, посвящённых экспериментальной проверке статистической теории ядер. Как известно, статистическое рассмотрение ядерных свойств предполагает, что при взаимодействии ядра с налетающей частицей образуется промежуточное ядро, последующий распад которого не зависит от способа его образования<sup>10</sup>. При этом эффективное сечение  $\sigma(ab)$  реакции  $A + a \rightarrow C^* \rightarrow B + b$  может быть представлено в виде

$$\sigma(ab) = \sigma_a(\epsilon) \eta_b(\epsilon), \quad (1)$$

где  $\sigma_a(\epsilon)$  — поперечное сечение для поглощения ядром  $A$  частицы  $a$ , имеющей кинетическую энергию  $\epsilon$  с образованием составного ядра  $C^*$ , а  $\eta_b(\epsilon)$  — вероятность распада ядра  $C^*$  в конечном состоянии  $B + b$ . Прямая проверка этого важного положения теории осуществлена в работе<sup>1</sup>, выполненной на двух ускорителях: 60-дюймовом циклотроне, создающем пучок  $\alpha$ -частиц с энергией  $E = 40$  Мэв, и линейном ускорителе, в котором получают протоны с  $\epsilon = 32$  Мэв. Авторами исследовались реакции:  $Ni^{60}(\alpha, n)Zn^{63}$ ,  $Ni^{60}(\alpha, pn)Cu^{62}$ ,  $Ni^{60}(\alpha, 2n)Zn^{63}$  и  $Cu^{63}(p, n)Zn^{63}$ ,  $Cu^{63}(p, 2n)Zn^{62}$ ,  $Cu^{63}(p, pn)Cu^{62}$ , в которых образуется промежуточное ядро  $Zn^{64}$ . В случае облучения  $\alpha$ -частицами был взят никель, обогащённый изотопом  $Ni^{60}$ , а при облучении протонами — чистая медь в виде обычной смеси изотопов. Кривые возбуждения были получены по методу «пачки фольг»,  $\beta$ -активность от которых измерялась при помощи тонкостенного счётчика. Максимумы кривых зависимости эффективного сечения от энергии протонов и  $\alpha$ -частиц (рис. 1) смещены друг относительно друга на  $7 \pm 1$  Мэв, что объясняется разностью масс  $Cu^{63} + H^1$  и  $Ni^{60} + He^4$ , равной по масс-спектрографическим измерениям  $5,74 \pm 0,5$  Мэв. Отношения  $\sigma(\alpha n) : \sigma(\alpha, pn) : \sigma(\alpha, 2n)$  равны в пределах ошибок  $\sigma(p, n) : \sigma(p, pn) : \sigma(p, 2n)$ , что доказывает правильность (1). В работе сравниваются также экспериментальные эффективные сечения поглощения  $p$  и